вационные материалы и технологии: материалы докладов Международной научно-технической конференции молодых ученых. Минск, 9–11 января 2019 г. [Электронный ресурс] – Минск: БГТУ, 2019. – С. 260-262.

- 4. Черные защитно-декоративные молибденсодержащие покрытия на оцинкованной поверхности / В. Х. Алешина [и др] // Инновационные материалы и технологии: материалы Международной научнотехнической конференции молодых ученых. Минск, 9-21 января 2021 г. [Электронный ресурс] Минск: БГТУ, 2021. С. 174-176.
- 5. Лурье, Ю. Ю. Справочник по аналитической химии. / Ю. Ю. Лурье. М.: Химия, 1965. 390 с.

УДК 544.63:620.193.27:621.793.1

В.Г. Матыс, доц., канд. хим. наук; О.Г. Бобрович, доц., канд. физ.-мат. наук; В.В. Поплавский, доц., канд. физ.-мат. наук (БГТУ, г. Минск)

## ВЛИЯНИЕ ИОННО-АССИСТИРУЕМОГО ОСАЖДЕНИЯ ЦЕРИЯ НА ЭЛЕКТРОХИМИЧЕСКОЕ ПОВЕДЕНИЕ АЛЮМИНИЯ И ТИТАНА В РАСТВОРЕ ХЛОРИДА НАТРИЯ

Соединения церия широко исследуется как альтернатива хроматам для пассивации алюминия и его сплавов обеспечивая высокие защитные свойства формируемых конверсионных покрытий [1-4].

В данной работе проведены исследования электрохимического поведения в растворе 3% NaCl образцов алюминия марки A7, алюминиевого сплава Д16Т и титанового сплава ВТ1-0, на поверхность которых был осажден церий методом вакуумного ионно-ассистируемого осаждения [5] в количестве  $10^{15}-10^{16}$  ат/см². Также проведены исследования исходных материалов до осаждения церия.

Измерение электрохимических характеристик образцов проводилось с использованием потенциостата P-40X по следующей программе: 1) регистрация потенциала разомкнутой цепи в течение 60 мин; 2) регистрация поляризационной кривой в потенциодинамическом режиме (1 мВ/с) в диапазоне потенциалов от -1 до +0.5 В либо до достижения анодной плотности тока  $\sim 0.08$  A/cм<sup>2</sup>.

Потенциал разомкнутой цепи электрода в коррозионной среде определяется протеканием анодного процесса окисления и катодного процесса восстановления. Поверхность алюминия и титана в обычных атмосферных условиях покрыта прочной оксидной пленкой. При погружении в раствор хлорида натрия поверхность образцов находится в

пассивном состоянии. В этом состоянии ток окисления металла очень мал и определяется ионной диффузией через оксидную пленку. Потенциал разомкнутой цепи в области пассивного состояния очень нестабильный, определяется процессами адсорбции и может варьироваться в широких пределах. В условиях, когда в растворе имеется растворенный кислород, потенциал разомкнутой цепи титана может неограниченно долго находиться в области пассивного состояния.

В растворе 3 % NaCl потенциал разомкнутой цепи для алюминия A7 и алюминиевого сплава Д16Т потенциал разомкнутой цепи составлял -0.75 - 0.7 В (рис. 1, a), тогда как для титанового образца он изменялся в течение часа от -0.35 до -0.05 В.

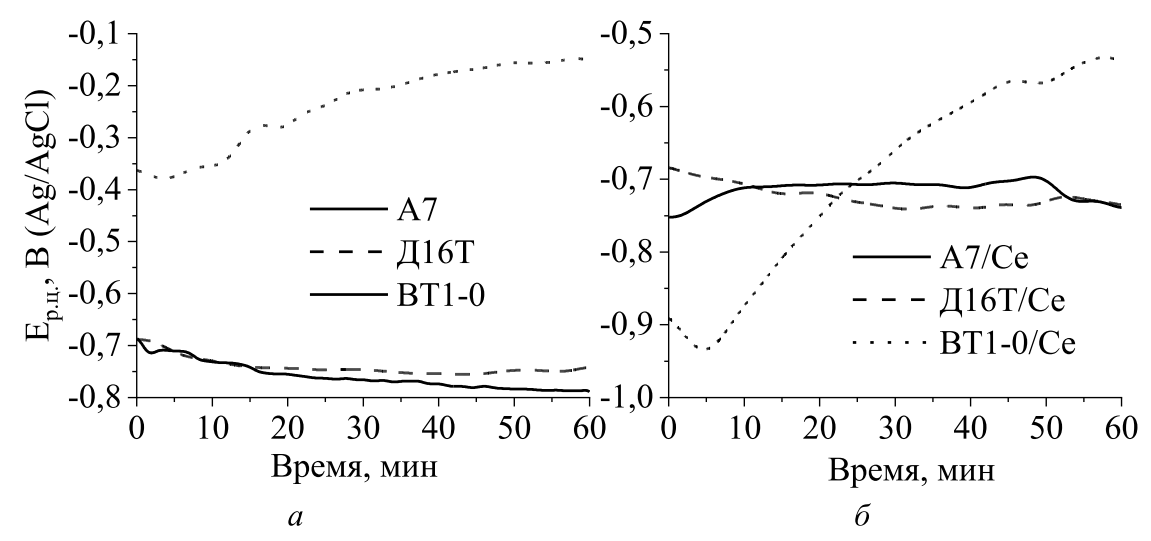


Рисунок 1 – Зависимость потенциала разомкнутой цепи от времени исходных образцов (a) и образцов с осажденным церием (б) в растворе 3% NaCl

После осаждения церия потенциал разомкнутой цепи образцов алюминия A7 и алюминиевого сплава Д16T практически не изменился и варьировался в течение часа в диапазоне от -0.8 до -0.7 В (рис. 1.6). Для титанового образца осаждение церия привело к значительному уменьшению потенциала разомкнутой цепи. За время выдержки образца в течение часа потенциал разомкнутой цепи плавно возрастал от -0.9 В до -0.5 В после незначительного уменьшения в первые 4 мин. Также следует отметить, что после осаждения церия потенциал разомкнутой цепи был нестабильным, на временных зависимостях наблюдались значительные осцилляции потенциала, особенно для образцов A7 и BT1-0.

Поляризационные кривые исходных образцов представлены на рис. 2, a. Наибольший потенциал коррозии (около -0,35 В) и наименьший ток коррозии (порядка  $10^{-6} - 10^{-7}$  А/см²) наблюдались для образца титана марки ВТ1-0. Для образцов алюминия А7 и алю-

миниевого сплава Д16Т потенциалы коррозии меньше, а токи коррозии больше (рис. 2, a). При этом для алюминия А7 потенциал коррозии (около -0.6 В) примерно на 100 мВ больше чем для алюминиевого сплава Д16Т (-0.7 В). Аналогично токи коррозии для алюминия ( $\lg i_{\text{кор}} \sim -5.5$ ) примерно на порядок меньше, чем для сплава Д16Т ( $\lg i_{\text{кор}} \sim -4.5$ ).

Поляризационные кривые образцов после осаждения церия представлены на рис. 2,  $\delta$ . На поляризационных кривых титанового образца BT1-0 после осаждения церия отмечались сильные осцилляции тока (может быть связано с изолирующим характером покрытия). Потенциал коррозии титанового образца после осаждения церия уменьшился с -0.35 B (рис. 2, a) до -0.5 B (рис. 2,  $\delta$ ) а ток коррозии увеличился примерно на порядок.

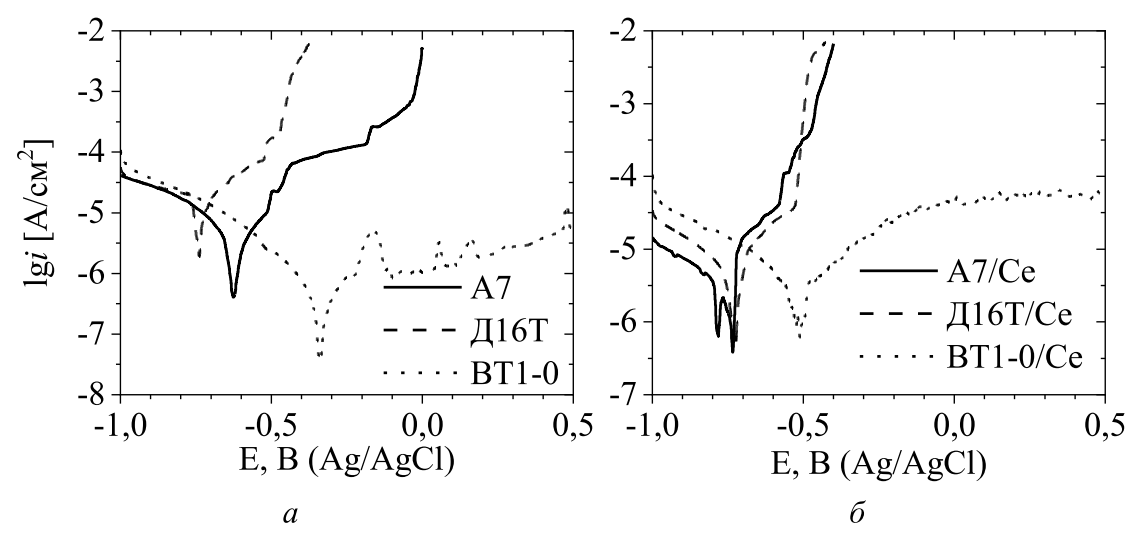


Рисунок 2 – Поляризационные кривые для исходных образцов (a) и образцов с осажденным церием (б) 3% NaCl; 1 мB/c

Потенциалы коррозии образцов алюминия A7 и сплава Д16Т с осажденным церием примерно одинаковы и составляют  $\sim$ 0,7 В, т. е. такое же значение, как и для исходного сплава Д16Т (рис. 2, a). Таким образом, потенциал коррозии алюминиевого сплава Д16Т после осаждения церия на изменился, а алюминия A7 — увеличился примерно на 100 мВ. Что касается токов коррозии, то для алюминиевого сплава Д16Т осаждение церия приводит к небольшому уменьшению тока коррозии ( $\lg i_{\text{кор}}$  уменьшилось примерно с -4,5 до -5). Для алюминия A7 ток коррозии практически не изменился.

На поляризационных кривых алюминия A7 и алюминиевого сплава Д16Т можно отметить резкое возрастание анодного тока при некотором потенциале, которое связано с разрушением (пробоем) оксидной пленки (рис. 2). Этот потенциала так и называют — потенциал

пробоя. Так для исходного алюминия потенциал пробоя наблюдался при потенциале  $\sim$ 0 B, а для исходного сплава Д16Т — при потенциале  $\sim$  -0.4 B (рис. 2). Осаждение церия приводило к заметному снижению потенциала пробоя (рис. 2,  $\delta$ ). Причем и у алюминия, и у сплава потенциал пробоя после осаждения церия составлял примерно -0.5 B.

Таким образом осаждение церия на поверхность алюминия приводит к снижению устойчивости оксидной пленки, которая обеспечивает пассивные свойства алюминия. Однако токи коррозии при этом особенно для сплава Д16Т немного уменьшаются, что можно связать в первую очередь со снижением скорости катодного процесса восстановления кислорода после осаждения церия, поскольку токи на катодных ветвях поляризационных кривых образцов А7 и Д16Т после осаждения церия значительно снижаются.

## ЛИТЕРАТУРА

- 1. Electrochemical corrosion resistance of aluminum alloy 6101 with cerium-based coatings in an alkaline environment / A. R. Khan [et al] // Front. Chem., 2022. Vol 10. DOI: 10.3389/fchem.2022.1066958.
- 2. An Auger and XPS survey of cerium active corrosion protection for AA2024-T3 aluminum alloy A. Uhart [et al] // Appl Surf Sci. 2016. Vol. 390. P. 751–759. DOI: 10.1016/j.apsusc.2016.08.170.
- 3. Becker, M. Chromate-free chemical conversion coatings for aluminum alloys / M. Becker // Corrosion Reviews. 2019. Vol. 37, № 4. P. 321–342. DOI: 10.1515/corrrev-2019-0032.
- 4. Kumar, N. Effect of Plasma Surface Pretreatment on Ce<sup>3+</sup>-Doped GPTMS-ZrO<sub>2</sub> Self-Healing Coatings on Aluminum Alloy / N. Kumar, A. Jyothirmayi, R. Subasri // ISRN Corrosion. 2012. DOI: 10.5402/2012/506560.
- 5. Поплавский, В. В. Установка для модификации электродных материалов ионными пучками / В. В. Поплавский, В. С. Леонов, Б.А. Бутылин // Химия и химическая технология: республиканский межведомственный сборник. Минск: Вышэйшая школа, 1984. Вып. 19. С. 52-54.